

# 5. Hybride Simulation

Bisher strenge Trennung in

- kontinuierliche Systeme

Darstellung kontinuierlicher Zustandsänderungen in

- vielen naturwissenschaftlichen Anwendungen (Physik, Chemie, ...)
- populationsbasierten Systemen mit sehr großer Population (Straßenverkehr, Bevölkerungsentwicklung)

- diskrete Systeme

Darstellung im wesentlichen ereignisorientierter Zustandsänderungen in

- vielen technischen Systemen (Computer, Kommunikation, Fertigung, ...)
- diskretisierten kontinuierlichen Systemen

## Einzelne Simulationsansätze

- etabliert und in vielen Systemen realisiert
- aber grundsätzlich verschieden
  - numerische Analyse von Differentialgleichungen im kontinuierlichen Fall
  - stochastische ereignisdiskrete Simulation im diskreten Fall

Kombination von kontinuierlicher und diskreter Simulation:

Wird diese benötigt?

Wie simuliert man?

Wie modelliert und spezifiziert man?

⇒ Hybride Simulation: Inhalt dieses Kapitels

5.1 Beispiele für hybride Systeme

5.2 Analyse kontinuierlicher Systeme (eine kurze Zusammenfassung)

5.3 Hybride Simulationsansätze

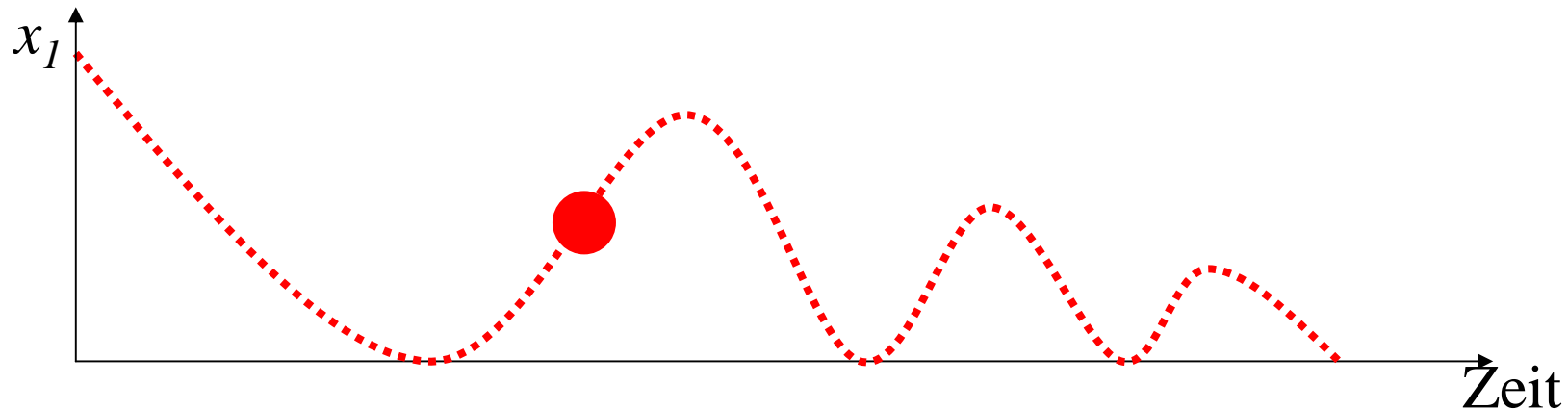
5.4 Spezifikation hybrider Systeme

## 5.1 Beispiele für hybride Systeme

Im wesentlichen zwei Klassen von Beispielen:

- Kontinuierliche Modelle, bei denen Diskontinuitäten auftreten
  - Überlast in elektronischen Schaltungen
  - Kollision von Körpern
  - sehr steife Differentialgleichungssysteme
- Diskrete Steuerung kontinuierlicher Prozesse
  - digitale Steuerung
    - generiert zeitgesteuerte Ereignisse
    - reagiert auf Zustandsänderungen im kontinuierlichen Teil
  - kontinuierlicher Prozesse
    - schreitet fort
    - wird durch Steuerungsimpulse beeinflusst u.U. auch durch abrupte Zustandsänderungen

## Aufspringender Ball:

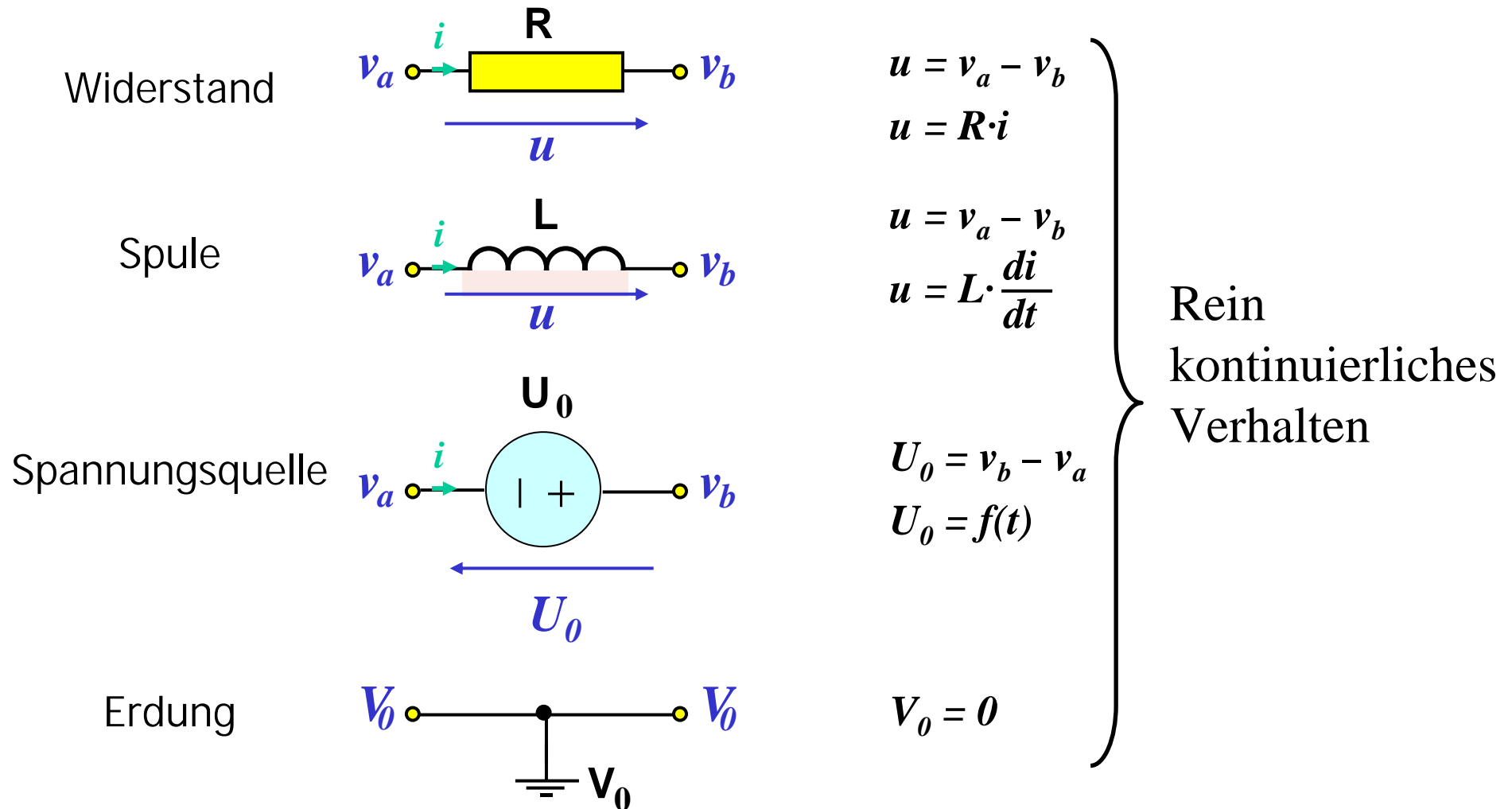


### Beschreibung:

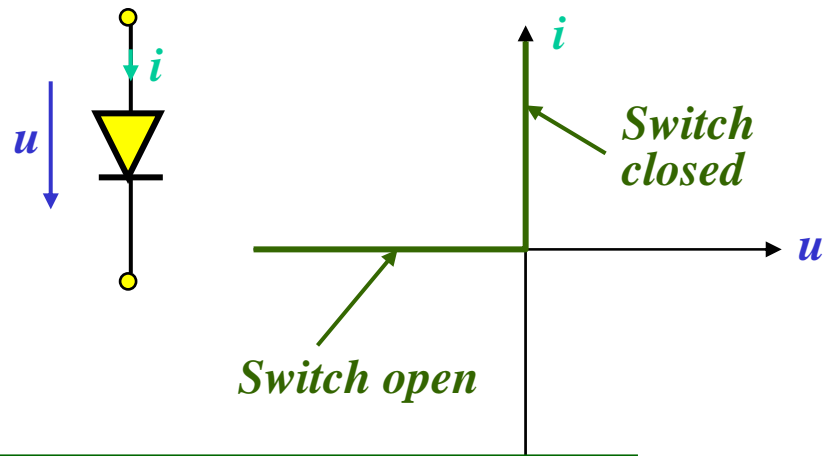
- $x_1$  sei die vertikale Position des Balls ( $x_1 \geq 0$ )  
uns interessiert nur die Höhe, nicht die horizontale Position
- $x_2$  Geschwindigkeit des Balls, also  $\dot{x}_1 = x_2$
- Geschwindigkeitsänderung durch Erdbeschleunigung vorgegeben  
also  $\dot{x}_2 = -g$
- Richtungsänderung beim Aufprall des Balls  
falls  $x_1 = 0$  dann  $x_2 = -c \cdot x_2$  (wobei  $0 \leq c \leq 1$ )

# Elektronische Schaltungen mit Dioden

Elemente in der Schaltung und zugehörige Gleichungen/Differentialgl.



# Verhalten einer idealen Diode:

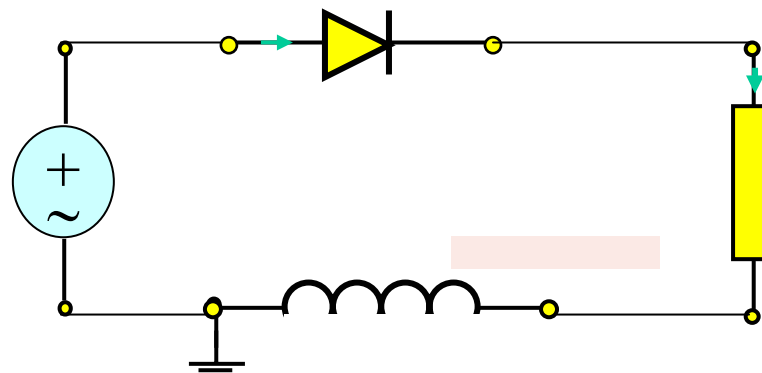


*open =  $u < 0$  ;*  
*0 = if open then  $i$  else  $u$  ;*

When  $u < 0$ , the switch is open. No current flows through.

When  $u > 0$ , the switch is closed. Current may flow. The ideal diode behaves like a short circuit.

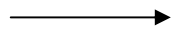
## Beispiel:



# Tiefen in einem Walzwerk

Entfernen eines Barrens aus dem Ofen, falls seine Temperatur  $\geq 380 \text{ }^\circ\text{C}$

Stahlbarren  
im Warteraum



Ankunftsstrom

Poisson mit Rate  $\lambda$

Ankunftstemperatur:

$200 \text{ }^\circ\text{C}$

Temperatur im  
Warteraum

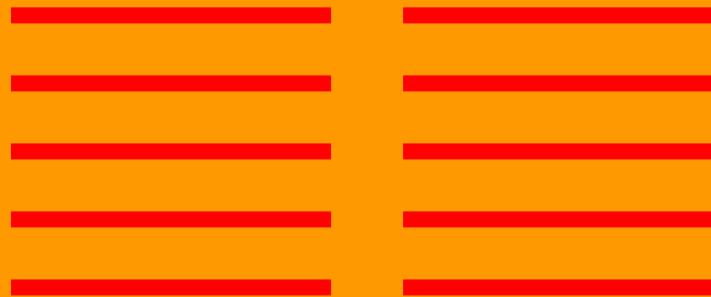
$25 \text{ }^\circ\text{C}$

$x_i(t)$  Temperatur Barren  $i$

$u_i(t)$  Umgebungstemperatur

Barren  $i$  (25 oder  $y(t)$ )

Tiefen (Kapazität 10)

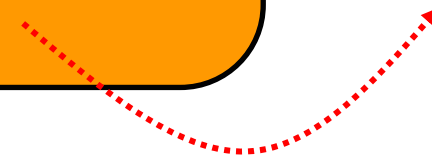


Temperatur im  
Ofen  $y(t) \leq 500 \text{ }^\circ\text{C}$

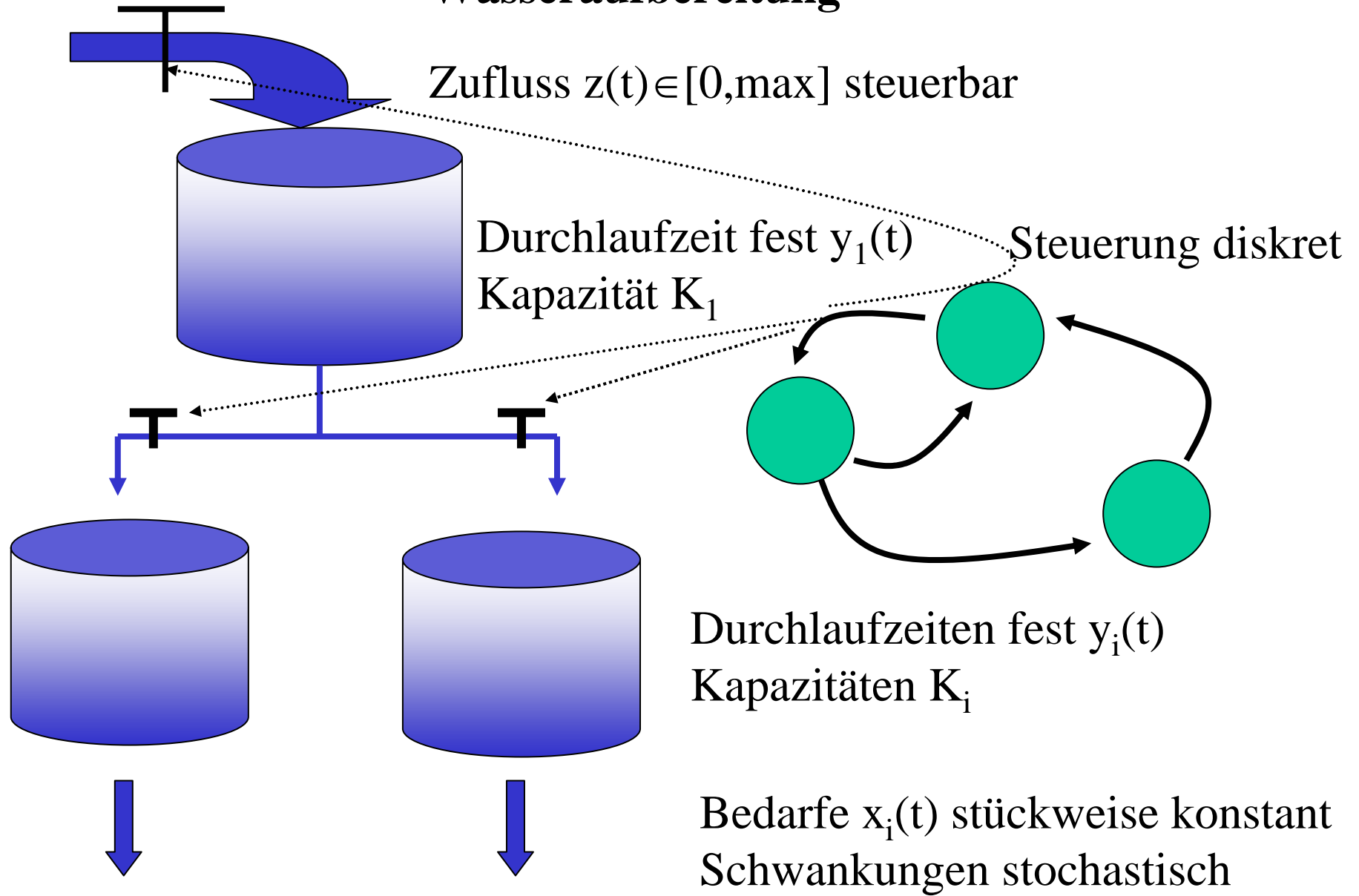
Temperaturänderungen:

$$\dot{x}_i(t) = (u(t) - x_i(t)) / 7$$

$$\dot{y}(t) = 500 - \sum_{i \text{ im Ofen}} (y(t) - x_i(t)) / 3$$



# Wasseraufbereitung



## 5.2 Analyse kontinuierlicher Systeme

Allgemeine Form eines kontinuierlichen Systems:  $\dot{\mathbf{x}} = f(\mathbf{x}, \mathbf{u}, t)$

Wir betrachten oft den einfachen Sonderfall:  $\dot{\mathbf{x}} = f(\mathbf{x})$

- Vektor  $\mathbf{u}$  kann durch Erweiterung während der Lösung berücksichtigt werden
- Oft gilt für den Lösungsvektor  $\mathbf{p} = h(\mathbf{x})$ , so dass Beobachtung von  $\mathbf{x}$  ausreicht

Beschreibung des Modells kann (und wird oft) allgemeiner sein, da

1. höhere Ableitungen vorkommen
2. die Zeit  $t$  explizit vorkommt
3. nur Beziehungen zwischen Variablen beschrieben werden

In diesen Fällen muss zuerst die Modellbeschreibung (möglichst automatisch) so transformiert werden, dass die obige Darstellung entsteht (siehe MAO)

## Ausgangslage

(bei den meisten kontinuierlichen Simulationsmodellen):

- eine Menge von Gleichungen über die Systemvariablen
- eine Menge von Differentialgleichungen

Vor der eigentlichen Simulation:

1. Zahl der Gleichungen reduzieren  
(Elimination durch Substitution)
2. Gleichungen sortieren  
(je eine Gleichung pro Variable)
3. Gleichungslösung  
(möglichst symbolisch, falls dies nicht möglich ist, siehe nächste Folie)

Falls Schritte 1-3 erfolgreich liegt ein Differentialgleichungssystem der gewünschten Form vor und die numerische Simulation kann durchgeführt werden

# Differential-algebraische Gleichungssysteme (DAEs)

Allgemeine Form:  $\dot{x} = f(x, y)$  und  $0 = g(x, y)$  x differential Variablen  
y algebraische Var.  
für den Anfangszustand gilt  $0 = g(x_0, y_0)$

Simultane Lösung eines (nicht notwendigerweise linearen) Gleichungssystems und eines Differentialgleichungssystems

Lineare DAEs:  $\dot{x} = A \cdot x + B \cdot y + v$  und  $0 = D \cdot x + E \cdot y + w$

Annahme: E sei quadratische reguläre Matrix  
(kann oft durch Streichung von redundanten Gleichungen erreicht werden)

Damit gilt  $y = -E^{-1}(Dx + w)$  und

$$\begin{aligned}\dot{x} &= Ax - E^{-1}(Dx + w) + v \\ &= (A - E^{-1}D)x + (v - E^{-1}w)\end{aligned}$$

} Kann mit einem „normalen“  
Verfahren für DGLs  
analysiert werden!

Allgemeine DAEs:

Simultane Lösung:

Verwendung eines impliziten Verfahrens zur DGL-Lösung

z.B. implizites Euler Verfahren:  $x(t + \Delta t) = x(t) + \Delta t \cdot f(x(t + \Delta t))$

$$\begin{aligned} \frac{1}{\Delta t} (x(t + \Delta t) - x(t)) &= f(x(t + \Delta t), y(t + \Delta t)) \\ 0 &= g(x(t + \Delta t), y(t + \Delta t)) \end{aligned}$$

Umwandlung in ein Fixpunktproblem und Lösung mittels Newton-Verf.

$$\begin{aligned} x(t + \Delta t) &= \Delta t \cdot f(x(t + \Delta t), y(t + \Delta t)) + x(t) \\ y(t + \Delta t) &= y(t + \Delta t) - g(x(t + \Delta t), y(t + \Delta t)) \end{aligned}$$

Newton-Verfahren:

$$\mathbf{x}^{(k+1)} = \mathbf{x}^{(k)} - \Delta \mathbf{x}^{(k)}$$

$$\Delta \mathbf{x}^{(k)} = \left( \mathbf{H} \left( \mathbf{x}^{(k)} \right) \right)^{-1} \cdot \mathbf{f} \left( \mathbf{x}^{(k)} \right)$$

$$\mathbf{H}(\mathbf{x}) = \frac{d\mathbf{f}}{d\mathbf{x}}$$

Falls Newton nicht konvergiert  $\Rightarrow \Delta t$  verkleinern

### Kombination ODE-Lösung und Gleichungslöser:

1. Starte mit  $\mathbf{x}^{(0)}(t+\Delta t)$  und  $\mathbf{y}^{(0)}(t+\Delta t)$ , setze  $k=1$
2. Berechne  $\mathbf{x}^{(k)}(t+\Delta t)$  mit ODE Löser
3. Berechne  $\mathbf{y}^{(k)}(t+\Delta t)$ , so dass  $\mathbf{g}(\mathbf{x}^{(k)}(t+\Delta t), \mathbf{x}^{(k)}(t+\Delta t))=0$   
mittels Newton-Verfahren
  - falls keine Konvergenz verkleinere  $\Delta t$  und fahre bei 2 fort
4. Falls  $\mathbf{x}^{(k)}(t+\Delta t) \approx \mathbf{x}^{(k-1)}(t+\Delta t)$  und  $\mathbf{y}^{(k)}(t+\Delta t) \approx \mathbf{y}^{(k-1)}(t+\Delta t)$  stop,  
sonst  $k=k+1$  und fahre bei 2. fort

# Lösungsverfahren für DGLs hier Runge-Kutta

Zur Erinnerung: Lösung durch Approximation der Taylor-Reihe am Punkt  $t$   
 $\Rightarrow$  Koeffizienten der Taylorreihe bis zu einer vorgegebenen Potenz müssen durch entsprechende Wahl der  $\alpha_{ij}$  und  $\beta_i$  wiedergegeben werden

## Beispiele:

**n=1**

Taylorreihe:

$$\mathbf{x}(t+\Delta t) = \mathbf{x}(t) + \Delta t \cdot f(\mathbf{x}(t)) + O(\Delta t^2)$$

RK-Verfahren:

$$\mathbf{x}(t+\Delta t) = \mathbf{x}(t) + \beta_1 \cdot \Delta t \cdot f(\mathbf{x}(t))$$

$$\Rightarrow \beta_1 = 1 \text{ muss gelten}$$

(eindeutiges Verfahren)

**n=2**

Taylorreihe:

$$\mathbf{x}(t+\Delta t) = \mathbf{x}(t) + \Delta t \cdot f(\mathbf{x}(t)) + \Delta t^2/2 \cdot f'(\mathbf{x}(t)) + O(\Delta t^3)$$

RK-Verfahren:

$$\mathbf{x}(t+\Delta t) =$$

$$\mathbf{x}(t) + \beta_1 \cdot \Delta t \cdot f(\mathbf{x}(t)) + \beta_2 \cdot \Delta t \cdot f(\mathbf{x}(t)) + \alpha_{21} \cdot \Delta t \cdot f(\mathbf{x}(t))$$

$$\Rightarrow \beta_1 + \beta_2 = 1 \text{ und } \beta_2 \cdot \alpha_{21} = 0.5 \text{ muss gelten}$$

(kein eindeutiges Verfahren)

## Mögliche Realisierungen

0	
1	0
<hr/>	
1/2	1/2

0	
2/3	0
<hr/>	
1/4	3/4

**n=3**

Taylorreihe:

$$\mathbf{x}(t + \Delta t) = \mathbf{x}(t) + \Delta t \cdot f(\mathbf{x}(t)) + \Delta t^2 / 2 \cdot \dot{f}(\mathbf{x}(t)) + \Delta t^3 / 6 \cdot \ddot{f}(\mathbf{x}(t)) + O(\Delta t^3)$$

RK-Verfahren:

$$\mathbf{x}(t + \Delta t) = \mathbf{x}(t) + \beta_1 \cdot \Delta t \cdot f(\mathbf{x}(t) + \beta_2 \cdot \Delta t \cdot f(\mathbf{x}(t) + \alpha_{21} \cdot \Delta t \cdot f(\mathbf{x}(t))) + \beta_3 \cdot \Delta t \cdot f(\mathbf{x}(t) + \alpha_{31} \cdot \Delta t \cdot f(\mathbf{x}(t)) + \alpha_{32} \cdot \Delta t \cdot f(\mathbf{x}(t) + \alpha_{21} \cdot \Delta t \cdot f(\mathbf{x}(t))))$$

$\beta_1 + \beta_2 + \beta_3 = 1$  und  $\beta_2 \cdot \alpha_{21} + \beta_3 \cdot \alpha_{31} + \beta_3 \cdot \alpha_{32} = 1 / 2$  und  $\beta_3 \cdot \alpha_{21} \cdot \alpha_{32} = 1 / 6$   
muss gelten (Lösung eines nichtlinearen Gleichungssystems)

### Mögliche Realisierungen

0			Heun
1/3	0		
0	2/3	0	
<hr/>			
1/4	0	3/4	

0			Kutta
1/2	0		
-1/6	2/6	0	
<hr/>			
1/6	4/6	1/6	

## Vorgehen bei der Analyse kontinuierlicher Systeme

(wie bisher beschrieben):

(Approximative) Berechnung der Funktionswerte zu äquidistanten Zeitpunkten mit Abstand  $\Delta t$

- kleinere Werte von  $\Delta t$  führen zu genaueren Resultaten (zumindest so lange bis Rundungsfehler auftreten)
- kleinere Werte von  $\Delta t$  erhöhen den Aufwand
- tatsächlicher Fehler der Berechnung hängt von der Struktur des zu analysierenden Systems ab

( $\Delta t$  muss entsprechend der Zeitkonstanten des Systems gewählt werden)

Auftretende Probleme:

- Zeitkonstanten eines Systems sind nur schwer ablesbar und variieren in Abhängigkeit vom Zustand

⇒ die Festlegung einer adäquaten Schrittweite ist schwierig

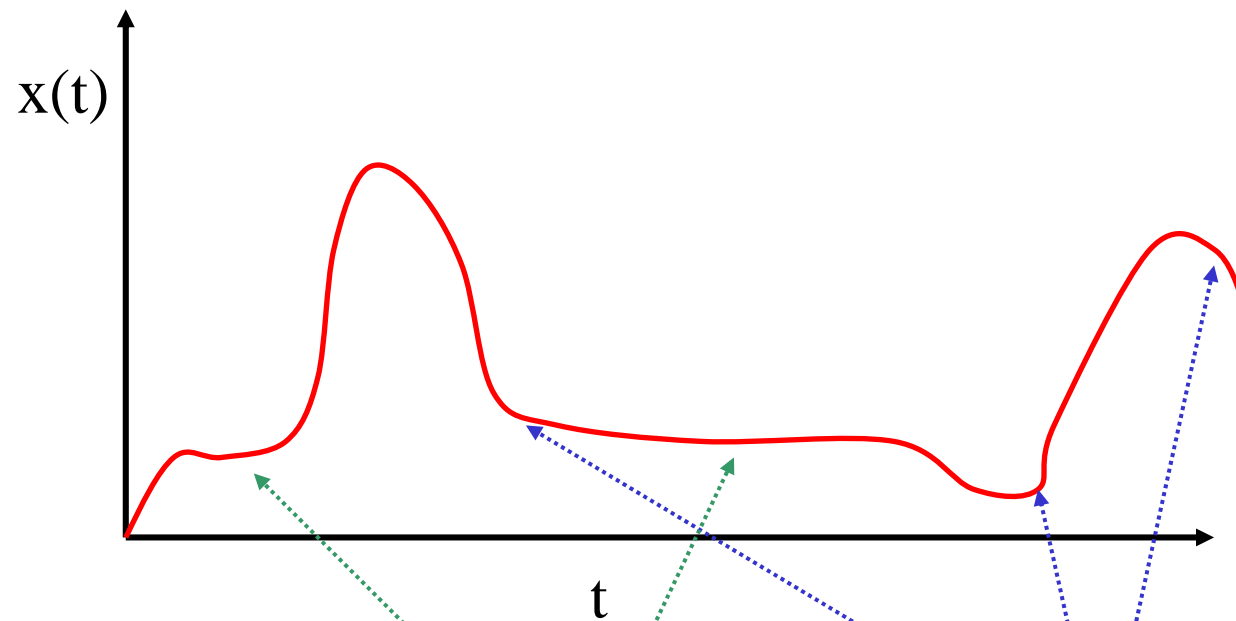
⇒ die adäquate Schrittweite kann sich während der Simulation ändern

⇒ naheliegender Ansatz:

**Adaptive Schrittweitensteuerung** während der Analyse

(heute in fast allen Werkzeugen zur kontinuierlichen Simulation verwendet)

# Darstellung des Problems am einfachen Beispiel



Fast lineares Verhalten, auch bei relativ großem  $\Delta t$  genau genug approximierbar

Starke Änderung der Ableitung, nur bei kleinem  $\Delta t$  genau genug approximierbar

Falls  $\Delta t$  zu

- groß gewählt wird, wird die Berechnung zu ungenau
  - klein gewählt wird, wird der Berechnungsaufwand zu hoch
- es existiert kein festes  $\Delta t$ , welches genügend genaue Resultate mit vertretbarem Aufwand liefert

Zur sinnvollen Berechnung sollte  $\Delta t$  so klein sein, dass

$|\varepsilon_{ED}(\Delta t)| \approx C \cdot \Delta t^{n+1}$  für ein Verfahren der Ordnung  $n$

Bei bekanntem  $C$  und vorgegebener Fehlertoleranz  $\varepsilon_{Tol}$  gilt:

$$\begin{aligned} |\varepsilon_{ED}(\Delta t)| &\leq \varepsilon_{Tol} \\ \Leftrightarrow C \cdot \Delta t^{n+1} &\leq \varepsilon_{Tol} \\ \Leftrightarrow \Delta t &\leq \left( \frac{\varepsilon_{Tol}}{C} \right)^{1/(n+1)} \end{aligned}$$

$\varepsilon_{ED}(\Delta t)$  und  $\varepsilon_{Tol}$  können als absolute oder relative Fehler berechnet werden:  
Praktisch verwendete Definition des relativen Fehlers

( $\mathbf{x}_e$  exakt,  $\mathbf{x}_a$  approximativ)

$$\varepsilon_{rel} = \frac{\|\mathbf{x}_e - \mathbf{x}_a\|}{\max(\|\mathbf{x}_e\|, \|\mathbf{x}_a\|, \delta)}$$

Da  $C$  nicht bekannt ist, muss der Wert geschätzt werden

Eine Schätzung kann nur auf Basis numerisch berechneter

Resultate erfolgen  $\Rightarrow$

- Berechne Resultate auf unterschiedliche Weise
- Benutze Differenz der Ergebnisse zur Schätzung von  $C$

## Methode der Schrittweitenhalbierung

In jedem Schritt werden 3 Werte berechnet:

- Wert zum Zeitpunkt  $t + \Delta t$ :  $\mathbf{x}_{\Delta t}(t+\Delta t)$
- Wert zum Zeitpunkt  $t + 0.5 \cdot \Delta t$ :  $\mathbf{x}_{0.5, \Delta t}(t+0.5 \cdot \Delta t)$  und davon ausgehend Wert zum Zeitpunkt  $t + \Delta t$ :  $\mathbf{x}_{0.5, \Delta t}(t+\Delta t)$

Approximation des auftretenden Fehlers:

$$\begin{aligned} |\varepsilon_{ED}(\Delta t)| &\approx \left\| \mathbf{x}_{\Delta t}(t + \Delta t) - \mathbf{x}_{0.5, \Delta t}(t + \Delta t) \right\| \\ &\approx C \cdot \Delta t^{n+1} \end{aligned}$$

Womit folgende Abschätzung gilt:  $C \approx \frac{\left\| \mathbf{x}_{\Delta t}(t + \Delta t) - \mathbf{x}_{0.5, \Delta t}(t + \Delta t) \right\|}{\Delta t^{n+1}}$

Anschließend wird  $\Delta t$  verändert, um die vorgegebene Fehlerschranke

zu erreichen:  $\Delta t_{opt} = \alpha \cdot \sqrt[n+1]{\varepsilon_{Tol} / C}$  mit  $0 < \alpha < 1$

**Vierfacher Rechenaufwand pro Schritt !!**

**(3 Schritte zur Bestimmung von  $\Delta t_{opt}$  + 1 Verfahrensschritt)**

## Methode der eingebetteten Verfahren

Die Lösung  $\mathbf{x}(t+\Delta t)$  wird, ausgehend von  $\mathbf{x}(t)$ , mit zwei unterschiedlichen Verfahren berechnet, die Lösungsvektoren  $\mathbf{x}_1(t+\Delta t)$  und  $\mathbf{x}_2(t+\Delta t)$  liefern (z.B. RK 2/3 oder RK 4/5)

Anschließend schätzt man  $C \approx \frac{\|\mathbf{x}_1(t + \Delta t) - \mathbf{x}_2(t + \Delta t)\|}{\Delta t^{n+1}}$

(wobei  $n$  die kleinere der beiden Fehlerordnungen ist)

$\Delta t_{\text{opt}}$  wird wie auf der vorherigen Folie beschrieben berechnet

**Aufwand pro Schritt: 3 Berechnungsschritte**

**(2 zur Bestimmung von  $\Delta t_{\text{opt}}$  und 1 Verfahrensschritt)**

**Aufwand lässt sich auf 2 Berechnungsschritte reduzieren, falls**

**Runge-Kutta Verfahren so konstruiert werden, dass**

**Zwischenergebnisse wiederverwendbar sind**

**(eingebettete Verfahren).**

## Weitere Bemerkungen:

- C wird nur geschätzt und die Schätzung kann falsch sein (deshalb eher etwas kleinere Werte für  $\alpha$  verwenden)
- Für die meisten Modelle wird der Aufwand zusätzlicher Berechnungen durch die dynamische Anpassung der Schrittweite mehr als ausgeglichen
- Eine a priori Schätzung von  $\Delta t$  ist nicht notwendig
- Falls das aktuell verwendet  $\Delta t$  kleiner als das ermittelte  $\Delta t_{opt}$  ist, so kann auf den abschließenden Verfahrensschritt verzichtet werden und mit dem „genaueren“ der ermittelten Vektoren  $x(t+\Delta t)$  fortgefahren werden
- Da durch eine Verkleinerung der Schrittweite die Zahl der Schritte steigt, steigt auch der Gesamtfehler bei konstantem Einzelschrittfehler

Berücksichtigung des Gesamtfehlers liefert:

$$\text{Schrittzahl } n = \tau / \Delta t \text{ und } \Delta t_{opt} = \sqrt[n]{\varepsilon_{DTol} \cdot \tau / C}$$

( $\varepsilon_{DTol}$  Gesamtfehlerschranke)

Vorgehen i.d.R. nicht bei hybriden Modellen einsetzbar, da

- Änderungen abrupt stattfinden und damit nur approximativ durch einen starken Anstieg beschrieben werden
- der diskrete Teil sich nicht adäquat beschreiben lässt (Ereignisorientiertheit, Stochastik etc.)

Verfahren zur kontinuierlichen Simulation

(inkl. Schrittweitensteuerung) nutzbar,

muss aber mit Algorithmus zur diskreten Simulation gekoppelt werden

⇒ hybride Simulation

Einfacher Spezialfall:

- alle Ableitung von der Form  $\dot{x} = k$  für konstantes  $k$   
⇒ Darstellung durch diskrete Ereignisse, da Wert von  $x(t)=x(0+k \cdot t)$
- keine Ableitung von einer kontinuierlichen Variable abhängt  
⇒ Darstellung durch diskrete Ereignisse, Ereigniszeit kann aus Berechnung der bestimmten Integrale gewonnen werden

## 5.3 Hybride Simulationsansätze

- Hybride Simulation als Erweiterung diskreter Simulation, falls kontinuierlicher Teil einfach diskretisierbar
- Hybride Simulation als Erweiterung kontinuierlicher Simulation, falls diskontinuierliche Ereignisse spezifizierbar und ohne Ereignisliste (u.U. auch ohne Stochastik) realisierbar

Für allgemeine hybride Modelle sind spezielle Simulationsansätze notwendig (Kombination diskret & kontinuierlich)

Solange keine Interaktion zwischen diskretem und kontinuierlichem Teil auftritt, können die jeweiligen Simulationskonzepte Verwendung finden

⇒ zentraler Aspekt Interaktion zwischen den unterschiedlichen Teilen

## Mögliche Interaktionsszenarien:

### Zeitgesteuerte Ereignisse

- Ereignisse werden in der Ereignisliste gehalten und sind nach der Zeit ihres Eintretens geordnet
- Ereignisse können zu Zustandsänderungen im diskreten Teil führen
- Ereignisse können zu Diskontinuitäten im kontinuierlichen Teil führen
- Ereignisse werden zu Beginn der Simulation und während der Simulation durch andere Ereignisse generiert (Zeit eines neuen Ereignisses kann nicht in der Vergangenheit liegen!)

### Zustandsgesteuerte Ereignisse

- Bei Über- oder Unterschreiten vorgegebener Schranken wird ein diskretes Ereignis ausgelöst
- Auswirkung des Ereignisses siehe oben
- Ereigniszeitpunkte ergeben sich implizit aus der Zustandstrajektorie (nicht vorhersehbar bzw. speicherbar)

Simulation zeitgesteuerter Ereignisse:

Sei  $t$  der aktuelle Zeitpunkt und  $t_e$  der Zeitpunkt des nächsten Ereignisses in der Ereignisliste

- Integrationsalgorithmus wird benutzt, um aus bekanntem  $x(t)$  den Wert  $x(t_e)$  zu berechnen,
- falls im Intervall  $[t, t_e)$  keine zustandsgesteuerten Ereignisse auftreten
  - normaler Ablauf des Algorithmus,
  - im letzten Schritt ist  $\Delta t$  so zu wählen, dass genau  $t_e$  erreicht wird
- diskretes Ereignis zum Zeitpunkt  $t_e$  wird ausgeführt und liefert neuen Zustand  $x'(t_e)$
- $x'(t_e)$  wird als Startwert der Simulation bis zum nächsten Ereignis verwendet

Simulation eines Systems mit  $d$  Ereignissen entspricht  $d+1$  separaten Simulationsläufen

# Zustandsgesteuerte Ereignisse

## Algorithmus für den eindimensionalen Fall, Ereignis falls $x(t)=y$

1. Ausführung eines Simulationsschrittes mit Schrittweite  $\Delta t$
  2. Falls  $((x(t) < y \wedge x(t+\Delta t) > y) \vee (x(t) > y \wedge x(t+\Delta t) < y))$ 
    - a.  $\delta t = (|x(t) - y|) / (|x(t) - x(t+\Delta t)|) \cdot \Delta t$
    - b. berechne  $x(t+\delta t)$
    - c. Falls  $((x(t) < y \wedge x(t+\delta t) < y) \vee (x(t) > y \wedge x(t+\delta t) > y))$   
 $t = t + \delta t$  und  $\Delta t = \Delta t - \delta t$
    - d. Falls  $((x(t) < y \wedge x(t+\delta t) > y) \vee (x(t) > y \wedge x(t+\delta t) < y))$   
 $\Delta t = \delta t$
    - e. falls  $|x(t+\Delta t) - y| < \varepsilon$   
 $t = t + \Delta t$  und gehe zu 3.
    - f. falls  $|x(t) - y| < \varepsilon$   
gehe zu 3.
    - g. gehe zu 2a
  3. führe das diskrete Ereignis aus
  4. Falls  $t + \Delta t > \text{Simzeit}$  dann stop, sonst  $t = t + \Delta t$  und gehe zu 1.
- Algorithmus ist für mehrere Dimensionen einfach erweiterbar
  - $x(t)=y$  kann nur bis auf eine Toleranz  $\varepsilon$  bestimmt werden
  - es ist nicht feststellbar, ob  $x(t')=y$  für ein  $t < t' < t + \Delta t$  erreicht wird, wenn sich das Vorzeichen der Differenz nicht ändert
  - Automatische Schrittweitensteuerung sollte Abstand  $|x(t) - y|$  mit einbeziehen

## 5.4 Spezifikation hybrider Systeme

- Zahlreiche kontinuierliche Simulatoren erlauben Integration diskreter Ereignisse, oft aber keine vollständige ereignisdiskrete Modellierung
- Einzelne ereignisdiskrete Simulatoren erlauben Integration kontinuierlicher Anteile, oft muss das kontinuierliche Lösungsverfahren aber manuell integriert werden
- Einzelne Simulationsbibliotheken/-sprachen beinhalten Komponenten für diskrete und kontinuierliche Simulation, Kopplung ist aber in der Regel manuell zu realisieren

Wie betrachten hier

- Modelica als objektorientierte Sprache für kontinuierliche Systeme mit Erweiterungen zur hybriden Modellierung
- Hybride Petri Netze
- Hybride Automaten

## Modelica:

Modelica ist eine objektorientierte Sprache primär zur Beschreibung kontinuierlicher Systeme.

### Beispiel Schaltkreis:

```
connector Pin
  Voltage v ;
  flow Current i ;
end Pin
```

```
connect (Pin1, Pin2)
definiert implizit die Gleichungen
Pin1.v = Pin2.v und Pin1.i + Pin2.i = 0
```

```
partial class TwoPin
  Pin p, n ;
  Voltage v ;
  Current i ;
equation
  v = p.v - n.v ;
  0 = p.i + n.i ;
  i = p.i ;
end TwoPin ;
```

Definition eines Widerstandes:

```
class Resistor
  extends TwoPin ;
  parameter Real R(unit = „Ohm“) ;
equation
  R · i = v ;
end Resistor ;
```

In ähnlicher Form werden weitere Elemente definiert

## Definition von diskreten Ereignissen über if .. then .. else ...

Beispiel Diode:

```
class Diode
  extends TwoPin ;
equation
  open = u < 0 ;
  0 = if open then i else v ;
end Diode ;
```

Konstrukte sind ausreichend, um Diskontinuitäten in kontinuierlichen Modellen zu beschreiben, aber nicht, um komplexe diskrete Modelle zu beschreiben!

Bibliotheken existieren um z.B. einfache Petri-Netze oder State-Charts zu beschreiben

Nicht realisiert sind

- stochastische Funktionen
- Ereignisliste
- dynamische Objekterzeugung

## Hybride Petri-Netze

Petri Netze sind ursprünglich ein Modell mit diskreter Zustandsbeschreibung und explizit ohne Zeitbegriff.

In der Folgezeit in unterschiedliche Richtungen weiterentwickelt, u.a. zu zeitbehafteten, stochastischen kontinuierlichen und hybriden Petri Netze

$PN=(S,T,F,W,M_0)$  mit

- $S$  endliche Stellenmenge
- $T$  endliche Transitionsmenge
- $F \subseteq S \times T \cup T \times S$
- $M_0$  initiale Markierung

Für spezielle Klassen Erweiterung der Definition!



## Hybride Automaten:

- Automatenmodelle sind in der Informatik in unterschiedlichen Varianten wohl etabliert (zeitlos, stochastisch, probabilistisch, timed, ...)
- hybride Automaten entstanden als Erweiterung von timed automata sie vereinen
  - kontinuierliches Verhalten in den Zuständen
  - Ereignisse durch Zustandsübergänge

Def. hybrider Automat (eine von vielen Varianten):

$H=(Q, X, \text{Init}, \text{Inv}, f, E, G, J, \Sigma)$  mit

- $Q$  endliche Zustandsmenge
- $X \subseteq \mathbb{R}^n$  kontinuierlicher Variablenraum
- $\text{Init} \subseteq L \times L$  initiale Zustandsmenge
- $\text{Inv}: L \rightarrow 2^X$  Zustandsinvariante
- $f: Q \rightarrow (X \rightarrow X)$  Änderungsfunktion kontinuierlicher Variablen
- $E \subseteq L \times L$  Transitionsmenge
- $G: E \rightarrow L^X$  Guard-Menge
- $J: E \rightarrow (X \rightarrow X)$  Diskontinuitätsfunktion
- $S$  endliche Menge von Transitionslabeln

## Beispiel: Pumpe

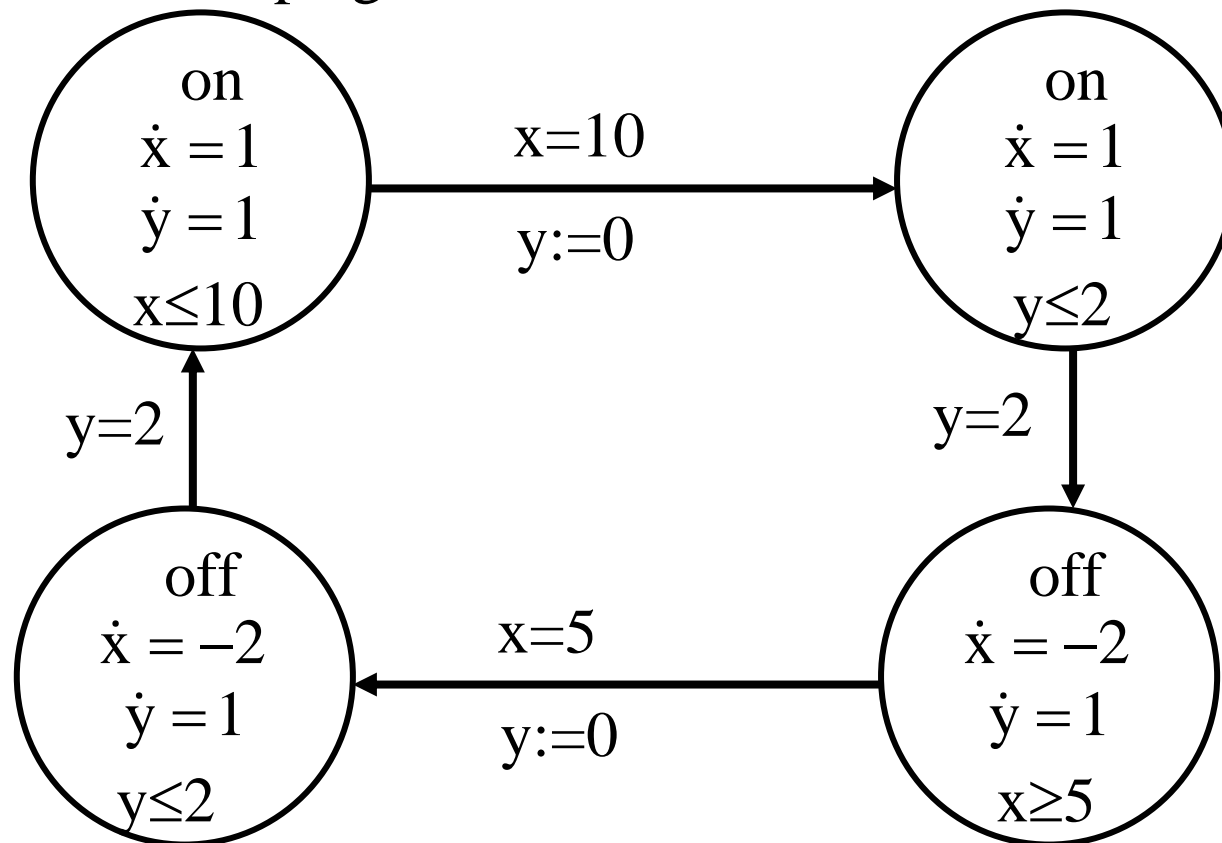
Pumpe on Wasser steigt um 1cm pro Sek.,

off Wasser fällt um 2cm pro Sek.

Signalübertragung zur Pumpe dauert 2 Sek.

x Wasserhöhe, y Zeit seit letzter Sendung

Ziel: Wasserspiegel zwischen 2 und 12 cm



## Hybride Automaten

- existieren auch mit Erweiterungen zur stochastischen Modellierung
- erlauben in einigen Varianten auch die Komposition zu Automatennetzen (Varianten, in denen dynamisch neue Automaten erzeugt werden, existieren aber bisher nicht)
- wurden oftmals in eingeschränkten Versionen untersucht, so dass analytische zustandsbasierte Analysetechniken anwendbar sind, Ziele dann Nachweis, dass bestimmte Zustände nicht eintreten können bzw. alle erreichbaren Zustände bestimmte Invarianten erfüllen
- lassen sich zwar in einigen Werkzeugen spezifizieren (Simulink, Matlab u.a.) werden aber nicht primär unter dem Gesichtspunkt der Spezifikation von Simulationsmodellen untersucht